

アイソジオメトリック解析(IGA) vs アイソパラメトリック解析(IPA)

Isogeometric Analysis (IGA) vs Isoparametric Analysis (IPA)

今村純也¹⁾

Junya Imamura

1) 博(工) imi 計算工学研究室 (〒351-0114 埼玉県和光市本町31-9-803, E-mail: jimamura@ra2-so-net.ne.jp)

This report is part of a research project to apply Helmholtz decomposition ($H-d$) to the finite element method. The equation of $H-d$ is applicable to vector field in general and accompanies Coulomb gauge ($\operatorname{div}\psi = 0$), i.e. general solution for ψ and particulars: ($\operatorname{div}\psi \neq 0$). Accordingly, $H-d$ decompose strain vector field τ using potential Ψ , also potential vector field ψ using potentials λ , and the same way, decompose higher, also lower derivative fields using vector potentials ($\dots, \lambda, \psi, \Psi, \dots$) and scalar potentials ($\dots, v, \varphi, \Phi, \dots$). This report discusses regarding relationship between isogeometric analysis (IGA) and isoparametric analysis (IPA), also relationship between derivatives of distributed outer forces and inner forces represented by $H-d$.

Key Words : Isogeometric Analysis, Isoparametric Analysis, Helmholtz decomposition, NURBS

1. はじめに : NURBS は有限要素表示できる?

(1) 有限要素法はTaylor級数法

アイソジオメトリック解析(IGA)のNURBS曲面を、三角形・四辺形の板曲げ(Platte), 或いは平面版(Scheibe)の有限要素の系で再現する。(別報[1]参照のこと。)

NURBSは多項式(Taylor級数)の補間法である。つまり線形関数を取り扱う。

状態方程式を表す正の物理量: 温度T×圧力P×密度ρは、指數関数表示すると都合よいが、非線形なので結局、多項式の有限要素表示法に落ち着く。

そこで、著者は有限要素法を“Taylor級数法”と解釈している。したがってNURBSは“有限要素表示可能”とするものである。

ラグランジュ(Lagrange)補間やエルミート(Hermite)補間は従来から在るが、適用の機会は殆ど無く、Taylor級数の係数ベクトルをノードパラメータで、直接表示する方法を常用している。(高次要素のノードパラメータ表示法の“コツ”は[付録]参照。)

(2) Helmholtz分解は任意のベクトル場を分解する

本報は、Helmholtz分解($H-d$)に基づく連続体理論の有限要素法への適用に関する研究、から派生した“形状入力”に関する考察・提案である。

$H-d$ は任意のベクトル場をポテンシャル φ と ψ で、Lateral(縦)成分とTransverse(横)成分に分解する。

任意のベクトル場とは、変位ベクトル場・ひずみベクトル場・ポテンシャルベクトル場、などが考えられるが、形状ベクトル場 \mathbf{X} を考える。

ベクトル場 \mathbf{X} を、ポテンシャル Φ と Ψ で分解表示するものである。

粒子で考えれば、 Φ は粒跡(particle path)を表し、 Ψ は3軸周りそれぞれの粒子自転の、粒子群相互間の影響によ

る、流跡への影響分である。つまり Φ の横ズレ分である。

$\dots, \nabla_{\operatorname{diag}}^2 v = \nabla \varphi, \nabla_{\operatorname{diag}}^2 \varphi = \nabla \Phi, \nabla_{\operatorname{diag}}^2 \Phi = \nabla \Theta, \dots$ で任意のベクトル場を表して行けば、流跡 Φ は $\nabla \varphi, \nabla_{\operatorname{diag}}^2 v, \dots$ で表せる。($\nabla_{\operatorname{diag}}^2 v$ は ∇v の対角成分。)

つまり \mathbf{X} は、C1級 Φ 、C2級 φ 、C3級 v, \dots で表して行ける。

それがNURBS曲線であり、 $H-d$ に基づくけば、曲面・ソリッドも表せる。

つまり、IGAはアイソパラメトリック解析(IPA)可能である。

ただ、解析目的はC1級要素で十分達せられる、と考えている。

CADの形状表示の要求(審美的要求)は、C2級・C3級のスプラインである。(サブパラメトリック要素法の概念と、変位・形状の次数が逆の要求となる: super parametric。)

IPAは、CADへ適用してもスプライン曲面に留まらず、地層や、皮膚・皮下層・筋肉層・骨層などの3D層の表現・解析も可能となる。

(3) IGAの目的

ポテンシャル表示の適合要素はC1級が要求される。必然的にC1級要素の適用法検討が、 $H-d$ に基づく連続体理論の有限要素法への適用に関する研究、の主体となった。

Bスプライン曲線は、Cⁿ連続が謳い文句である。

IGAはそれら関数による新しい解析法の開発が目的となるが、いまひとつの目的は、CADデータを転用して、形状データ作成ステップを省略する、2つの目的を持つと解釈している。

$H-d$ はCⁿ連続な解析・Cⁿ連続な形状表示、いずれも可能であるが、本報では後者を検討する。

前者はC1要素で解析目的は充分達せられる、とするものである。

離散計算向きに $H-d$ のベクトルポテンシャル項 $\operatorname{curl}\psi$ を

修正した“離散Helmholtz 分解(dHd)法”を提唱しているが、形状表示が検討目的の本報では、スカラーポテンシャル項 $\nabla\varphi$ が主体となり、 $H-d, dHd$ 共に共通である。

(4) 桁で解り易く

NURBS曲線とポテンシャル表示の関係は、1Dの桁で曲線(アーチなど)の形状を表す方法で理解できる。(概念が関係付けできる。)

簡単のため、変位自由度は鉛直方向の w のみ考える。

桁の始端・終端位置を決め、複数の中間点(ノード) k に $\{w\}_k$ を与えて折れ線を描く。(制御点と折れ線に相当。)

ポテンシャル φ を $\langle d\varphi/dx - w = 0 \rangle$ と定義し、 φ 曲線を描く。

ただ、局所原点 $\{\varphi\}_0$ の位置は自由なので、始端位置に置き、かつ勾配 $\langle d\varphi/dx \rangle_0 = \{w\}_0$ を与えて、 φ スプラインを順次描いて行く。($\{d\varphi/dx\}_k = \{w\}_k$)

終端 $\{\varphi\}_m$ の位置は、桁の他端位置に一致させ、かつ、全体を回転すれば、 φ 曲線はC1級である。

各点の $\{\varphi\}_k$ は、 $\{x\}_k$ に比例して修正する。或いは、等分割点の修正量を、それぞれ配分して行けば、計算負荷は減る。(始端の修正係数 =0、終端は =1、等分割点なら、係数は予め分かっている。)

更に、 $\langle d^2v/dx - d\varphi/dx = 0 \rangle$ と定義し、 v 曲線を同様に描き、同様に修正して行けば、C2級曲線を得る。

上述を連続桁で考えれば、始端・終端直線からの相対変位を中間支持点に与え、せん断力は不連続、モーメント曲線をC0級で、傾角をC1級で、 w をC2級で、 φ をC3級で描いて行くことになり、それらは更に、剛性分布でコントロールできる。

要するに、区間 m の両端のベクトル: $\{w, \varphi, v, \dots\}_{m-0}$ と $\{w, \varphi, v, \dots\}_{m+1}$ を与えれば、当該区間のCn 曲線は描ける。

それら両端ベクトルは parametric に、かつ interactive に決定した NURBS-CAD システムの値で、与え得る。

2. 遷移行列と $H-d$ 有限要素法

(1) 遷移行列有限要素法

力学の系は一般に、ひずみは不連続で、“変位・応力”が連続である。

したがって混相・混[剛性]の系では有限要素は、状態量ベクトル $\{\mathbf{u}, \nabla \mathbf{F}\}$ ($\{\mathbf{u}, \nabla \mathbf{u}\}$ に代えて、変位を \mathbf{u} 、剛性を \mathbf{G} 、 $\nabla \mathbf{F} \equiv \mathbf{G} \nabla \mathbf{u}$ として表すベクトル) を遷移行列で表示して行くべきである。(単相も!)

形状関数は $\langle \mathbf{G} = 1 \rangle$ の [遷移行列]・{ 状態量ベクトル } で表す。(つまり Taylor 級数表示。)

なお、状態量ベクトル(state vector, 独:Zustandvektor)で表す遷移行列法の特徴(特長)は、 $\langle \mathbf{G} = \infty \rangle$ の剛体が、隘路なしに計算可能であることであり、マルチボディダイナミクスは、遷移行列でそのまま計算して行ける。

(2) Helmholtz 分解表示

多少重複説明になるが、Helmholtzの定理は任意のベクトル場 \mathbf{V} をスカラーポテンシャル φ とベクトルポテンシャル ψ で、Coulombゲージを制約条件として、式(1)のごとく、Lateral(縦)成分とTransverse(横)成分に分解表示できるとする。[2]

$$\mathbf{V} = \nabla\varphi + \operatorname{curl}\psi \quad (\operatorname{div}\psi = 0) \quad (1)$$

本報では $\nabla\varphi$ 項で形状表示し、形状表示には非圧縮/圧縮は関係しないが、解析では非圧縮成分を $\nabla\varphi$ とし、圧縮成分を $\nabla\varphi^C$ として、変位ベクトル場の縦成分 \mathbf{u}^L は、式(2)で表す。

$$\mathbf{u}^L = \nabla\varphi + \nabla\varphi^C \quad (\nabla^1\varphi = 0, \nabla^1\varphi^C \neq 0) \quad (2)$$

ラプラスアン $\nabla^2\varphi$ と同様、 $\nabla^1\varphi \equiv \{1,1,1\} \cdot \nabla\varphi$ と定義し、以降では $\nabla^3\varphi, \nabla^4\varphi, \dots, \nabla^n\varphi$ 表示も適用して行く。

$\langle \nabla^1\varphi = 0 \rangle$ は $\langle \nabla^1\varphi \neq 0 \rangle$ の一般解であり、前述のように、圧縮/非圧縮に拘わらず計算して、式(1)や式(2)を表して行く必要がある。

任意のベクトル場を分解表示できるとは、変位ベクトル場 $\mathbf{u} \equiv \Psi$ 、ひずみレベルのベクトル場 \mathbf{V} 、また、ポテンシャルベクトル場 ψ も分解表示できると解釈し、 $\nabla\varphi, \operatorname{curl}\psi$ 前後の導関数ベクトルを、式形(3)の記号で表して行く。

そのうち、スカラーポテンシャル項に関しては既に述べた。

$$\left. \begin{array}{l} \nabla(\dots, v, \varphi, \Phi, \Theta, \dots) \\ \operatorname{curl}(\dots, \lambda, \psi, \Psi, \Pi, \dots) \end{array} \right\} \quad (3)$$

Θ は湧き出し(sink)であり、圧力 P は法線応力平均と定義されているので、 μ を粘性係数として、 $\nabla P = \mu \nabla \Theta / 3$ の関係に在る。

(3) Helmholtz 分解の原始変数表示と非圧縮計算

したがって primitive variable(原始変数)で、式(1)の変位ベクトル場 $\mathbf{u} (\equiv \Psi)$ 、ひずみレベルのベクトル場 $\mathbf{V} (\equiv \Pi)$ 、並びに \mathbf{V} の導関数レベルのベクトル場 \mathbf{W} を表示すれば、式(4)となる。

$$\left. \begin{array}{l} \mathbf{u} = \nabla\varphi + \operatorname{curl}\psi \quad (\operatorname{div}\psi = 0) \\ \mathbf{V} = \nabla\Phi + \operatorname{curl}\mathbf{u} \quad (\operatorname{div}\mathbf{u} = 0) \\ \mathbf{W} = \frac{3}{\mu} \nabla P + \operatorname{curl}\mathbf{V} \quad (\operatorname{div}\mathbf{V} = 0) \end{array} \right\} \quad (4)$$

解析では、前述のように、非圧縮計算が必ず要求される。

$\langle \Phi^C - \operatorname{div}\mathbf{u}^{m-1} = 0, \nabla(\Phi^C - \operatorname{div}\mathbf{u}^{m-1}) = \mathbf{0} \rangle$ を 反復計算: $\mathbf{u}^m = \mathbf{u}^{m-1} + \Delta\mathbf{u}, (m = 0, 1, 2, \dots)$ の第1ステップとし、第2ステップで増分(修正量) $\Delta\mathbf{u}$ を $\langle \Delta\mathbf{u} + \Phi^C = \mathbf{0}, \nabla(\Delta\mathbf{u} + \Phi^C) = \mathbf{0} \rangle$ で計算(或いは \mathbf{u} のひずみエネルギー変分計算の制約条件式として計算)して行けば、 \mathbf{u} に含まれる偽圧縮成分を offset(相殺)して行ける。

上述スキームでは、流れ場の加速度項も、拡散項の変分項も、いずれも Coulombゲージを満たす。

(4) 修正MAC法

C1級の φ および P 要素を適用する流れ場の仮想仕事法スキームで、P 要素を時間ステップの中間 ($n + \Delta t/2$) で計算して行く。

MAC (Marker And Cell) 法の縦成分加速度項の計算は、式(5)で P 要素を計算し、式(6)を加速度項計算の制約式として、 $\nabla\varphi^{n+1}$ の増分 $\nabla\Delta\varphi^{n+1}$ を計算して行く。

$$\int_{\Omega} \delta \nabla P \cdot \left(\nabla p - \frac{\nabla\varphi^{n+1} + \nabla\varphi^n}{2\Delta t} \right) d\Omega = 0 \quad (5)$$

$$+ \int_{\Omega} \delta \nabla\varphi \cdot (\nabla\Delta\varphi^{n+1} + \Delta t \nabla p) d\Omega = 0 \quad (6)$$

上述は $(\nabla\varphi^{n+1} + \nabla\varphi^n)$ に含まれる偽圧縮成分 $\nabla\varphi^c$ の offset (相殺) スキームである。

C1級 P 要素では、式(5)の計算と同時に式(7)を計算し、式(8)を Navier-Stokes (NS) 方程式の拡散項計算の制約条件式として、式(6)と共に計算して行く。

$$\int_{\Omega} \delta \nabla^2 P \cdot (p - \nu \nabla^2 \varphi) d\Omega = 0 \quad (7)$$

$$+ \int_{\Omega} \delta \nabla^2 \varphi \cdot (\nu \nabla^2 \Delta\varphi^{n+1} + p) d\Omega = 0 \quad (8)$$

よって、速度・速度勾配、いずれも弱形式ではあるが、Coulomb ゲージを満たす。

(5) C^n 連続要素

目的とする形状は、スカラーポテンシャルで表示 (描画) する。(スプライン曲線は φ で表す。曲線群で曲面を表示。)

既に述べたが、 $\nabla\varphi$ が連続なら、 φ 要素は C1 級である。

$\nabla\nabla v$ が連続なら、 v 要素は C2 級であり、形状 (スプライン曲線群) はスカラーポテンシャル v で描画する。

同様にして、階数を遡ってポテンシャルを定義して行けば、C3 級要素、 \dots 、 Cn 級要素が、定義したポテンシャルで表せ、それらポテンシャルで描画できる。

(6) ゆがみパラメータ項の計算

C1 級要素では、 $\nabla_n \varphi$ を要素間境界への法線方向勾配とすれば、 $\nabla_n \varphi$ が要素辺、或いは稜に沿って連続、が条件である。

したがって、頂点ノードパラメータに $\{\nabla_{n,s} \varphi\}_k$ を含む必要がある。つまり、三角形要素であっても、ゆがみパラメータ $\{\varphi^{(11)}\}_k$ を含む。

辺・稜に沿って $\nabla_{n,s} \varphi$ を安定させるために、各辺に沿って $\int_{\partial\Omega} \nabla_{n,s} \varphi \partial\Omega = 0$ を $\{\varphi^{(11)}\}_k$ で変分する。

要素内積分形では $\int_{\Omega} \varphi^{(11)} d\Omega = 0$ である。

上述は要素ごとに計算して、 $\{\varphi^{(11)}\}_k$ を消去できる。

或いは $\{\varphi^{(11)}\}_k$ を、当該頂点ノードで、要素間で共有 (等値) し、連立方程式で満たして行く。(後者の板曲げ計算例は厳密解と、高度に一致する。)

C2 級要素では $\langle \nabla\nabla v \Rightarrow \mathbf{0} \rangle$ で、ノードパラメータ成分 $\{\nabla\nabla v\}_k$ を、同様に消去して行けば、NURBS を有限要素で再現できる。ただ、解析は C1 級で十分応え得る、とした。

したがって CAD システムの描画に、IPA システムの C1 描画を重ね書きし、必要に応じて有限要素を 2 分割、3 分割すれば解析目的に十分適う。

3. スカラーポテンシャルによるスプライン曲線・曲面

(1) スプライン曲線

はじめに述べた、曲げ剛性 $G = 1$ の連続桁で表示する。桁の、棒としての伸縮変位 u は $\langle u = \varphi^{(1)} \rangle$ で表し、C1 級棒要素 (φ 要素) のノードパラメータは $\{\varphi^{(1)}\}_k$ で表す。

たわみもポテンシャル表示 $\langle w = \varphi \rangle$ し、通常の連続桁としてノードパラメータ値を与える、たわみを表示すれば、C1 連続スプライン曲線を得る。

それを形状データとすれば、3D 曲線の連続桁解法は確立している。[3] ~[5]

(2) スプライン曲面

桁曲げ同様、板曲げで表示できる。面内変位は Scheibe の φ で表す。(前掲 [1])

NURBS による板曲げ解法 [6] に比べ、格段に容易である。

(3) 1D要素、2D三角形要素・四辺形要素・五辺形要素
1D の n 階連続要素は $(2n+1)$ 次の要素で、両端に $(n+1)$ 数のノードパラメータを有す。

2D の三角・四辺形要素は、辺上 1D の関数が、頂点のノード上で回転するので、回転行列 $(n+1) \times (n+1)$ 数のノードパラメータを有す。

2D 五辺形要素は、四辺形要素から部分的に三角形面積を欠くので、四辺形要素の頂点ノードの一つを $\{\varphi^{(11)}\}_0$ で表し、そのノードを共有する三角形 $\varphi^{(11)}$ 要素を重ねる。

三角形面積内の $\varphi^{(11)}$ 分布を、共有する $\{\varphi^{(11)}\}_0$ の自由度で、数値的にゼロ分布として行けば、三角形要素の残り 2 頂点ノードパラメータが、五辺形要素のノードパラメータとなる。

4. まとめ

NURBS は多項式の補間法であるから、同じく Taylor 級数法である Cn 級有限要素で表示可能な筈である。

NURBS-CAD システムは、parametric に、かつ interactive に Cn 連続な形状を作図する。

有限要素のノードパラメータを出力するよう機能追加すれば、有限要素法の形状データとして、そのまま使える。

形状データが精密であれば、要素細分割計算可能な有限要素法では、C1 級要素解法で対応できる、とした。

謝辞: Helmholtz 分解の有限要素法への適用の研究に関し、長年慶應義塾大学名誉教授 棚橋隆彦先生にアドバイスを頂いた。記して感謝の意を表します。

付録: 高次要素のノードパラメータ表示による計算法

有限要素の関数の係数ベクトルをノードパラメータ表示するには、三角形要素の例では、ノードパラメータベクトル $\{\varphi_k\} \equiv \{\varphi_1, \varphi_2, \varphi_3\}$ を、先ず要素関数で表す。

つまり係数ベクトルを $\{\varphi^{(ij)}\}_0 \equiv \{\varphi^{(00)}, \varphi^{(10)}, \varphi^{(01)}\}_0$ として、行列 $[\mathbf{A}]$ を介し、 $\{\varphi_k\} = [\mathbf{A}] \cdot \{\varphi^{(ij)}\}_0$ で表す。

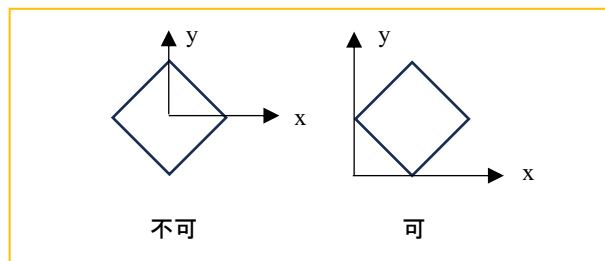
次いで、 $[\mathbf{A}]^{-1}$ を計算して、 $\{\varphi^{(ij)}\}_0 = [\mathbf{A}]^{-1} \cdot \{\varphi_k\}$ で表せばよい。

ただし、要素重心を局所原点として $[\mathbf{A}] \cdot \{\varphi^{(ij)}\}_0$ を表したのでは、高次要素では $[\mathbf{A}]^{-1}$ は計算できない。

そこで、要素を第I象限に置くよう、局所原点を設定して計算すれば、 $[\mathbf{A}]^{-1}$ は確実に計算できる。

上述は高次要素に限らず、低次のC⁰要素でも、菱型要素の $[\mathbf{A}]^{-1}$ は計算できない。(第I象限に置けば計算できる。)

上述の知見は、高次要素法を可能とする第1歩である。



参考文献

- [1] 今村: 重調和関数方程式の解法 / 新しい板曲げスキーム、並びに(適合化/アイソレート化)ノード法, Locking-free要素, 計算工学講演会2024, Vol.29 (2024).
- [2] 例えば: 数学ハンドブック, 丸善, pp.258, 1960.
- [3] Falk, S. : Die Berechnung offener Rahmentragwerken nach dem Reduktionsverfahren, Ingenieur-Archiv 26 (1958), S.61-80.
- [4] Falk, S.: Die Berechnung geschlossener Rahmentragwerken nach dem Reduktionsverfahren, Ingenieur-Archiv 26 (1958), S.96-109.
- [5] R. Kersten著, 伊藤学訳: 構造力学における還元法, 技法堂, (1968).
- [6] L. Beirão Da Veiga, T. J. R. Hughes, et al.: A locking-free model for Reissner-Mindlin plates: Analysis and isogeometric implementation via NURBS and triangular NURPS, World Scientific, (2015).
- [7] 小紫誠子: 多方向上流差分を用いた2次元バーガース方程式の数値計算, 第23回数値流体力学シンポジウム, [E5-3], 2009.
- [8] 鶩津久一郎: 弹性学の変分原理概論, 培風館, 1972.
- [9] Martin, H.C. and Carey, G.F.: 有限要素法の基礎と応用, (鶩津久一郎, 山本善之共訳), 培風館, 1979.